

I-218 多径間吊橋の静力学的解析法についての2, 3の考察

北海道大学 正会員 渡辺 昇

〃 〃 佐藤 浩一

〃 学生員 ○川瀬 健夫

1. まえがき

本報告は、図-1(a)のような塔とケーブルとガローラー結合の場合の、多径間連続吊橋(図-2)の静力学的解析法の一つとして、図-3のように多径間連続吊橋の中間支点に未知垂直集中荷重を作用させ、これをDiracのDelta関数で表示し、Laplace変換あるいはFourier変換を施し、多径間連続吊橋の支点条件(沈下などの条件)を満たすように、未知反力をGreen関数を用いて決定する。未知反力が求めれば、吊橋のオニの基礎方程式から、ケーブルの水平張力が求まり、多径間連続吊橋の補助解析のためか、断面力か、連続析の全長を単純析とした時のGreen関数のみで表示できる。

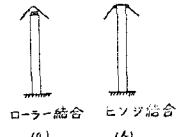
2. 吊橋の微分方程式

図-2は塔とケーブル類は省略してあるが、ガローラー結合の場合の、多径間連続吊橋の補助解析上を集中荷重 $P=1t$ が移動する時の吊橋の微分方程式は、補助解析に引張軸力 H が作用し、集中荷重 $P=1t$ が支点に作用し、未知数 H_p , X_r が荷重として作用していける時の単純析の微分方程式と同様であるから式(1)となり、ケーブルの基礎方程式は式(2)となる。

②-1

$$EI \cdot u''(x) - H \cdot u'''(x) = P \cdot \delta(x - \xi) + H_p y'' + \sum_{r=1}^{n-1} X_r \cdot \delta(x - l_r) \quad \dots \dots (1)$$

$$H_p \frac{L_c}{E_c A_c} + y'' \int_0^L u'(x) dx = 0 \quad \dots \dots (2)$$



式(1)と式(2)とを連立させ、 $u(x)$, H_p を求めていく。

連続析の全長を単純析とした時の境界条件は式(3), 式(4)である。
 $u(0) = u''(0) = 0 \quad \dots \dots (3)$

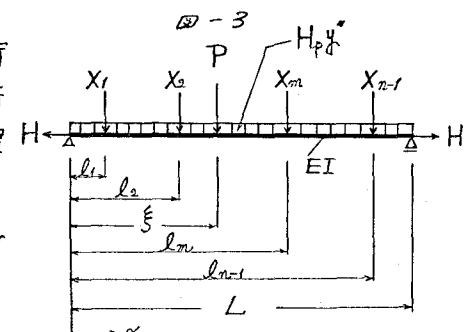
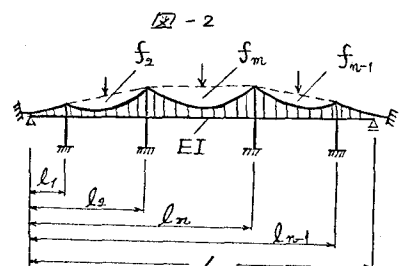
$$u(L) = u''(L) = 0 \quad \dots \dots (4)$$

$$\text{また } M^2 = H/EI \quad \dots \dots (5)$$

ここで、
 EI : 補助解析の曲げ剛性($t \cdot m^3$), $H = H_g + H_p(x)$,
 $L_c = \int_0^L \frac{dx}{\cos^2 \varphi}$ (m), φ : 水平方向に対するケーブルの傾斜角,
 $y'' = -\frac{8f}{L^2} (\frac{1}{m})$, E_c : ケーブル材のヤング係数(t/m^2)

A_c : ケーブル材の断面積(m^2), $u(x)$: 活荷重による補助解析の鉛直方向のたわみ(m), P : 集中荷重(t), y : 活荷重無載荷におけるケーブルの垂下曲線の座標(m), x : 着目点の位置の座標(m), ξ : 集中荷重 P の作用点の座標(m),

式(1)をLaplace変換あるいはFourier変換し、 $u(x)$ を H_p , X_r を含んだ形で求めよ。 $u(x)$ を式(2)に代入して H_p を求めよ。



3 Laplace 変換による解法

式(1)に Laplace 変換を施し、式(3)を代入すれば、式(6)となる。

$$v(s) = \frac{1}{s^2} v'(0) + \frac{1}{s^2(S^2/\mu^2)} v''(0) + \frac{P}{EI} \frac{e^{-sS}}{s^2(S^2/\mu^2)} + \frac{H_p y''}{EI} \frac{1}{s^3(S^2/\mu^2)} + \frac{1}{EI} \sum_{r=1}^{n-1} X_r \frac{e^{-sr}}{s^3(S^2/\mu^2)} \quad \dots \dots (6)$$

式(6)を逆変換すれば、式(7)となる。 $\therefore E(x-s), E(x-l_r)$ はステップ関数である。

$$v(x) = v'(0)x + \frac{1}{\mu^2} \left(\frac{1}{\mu} \sinh \mu x - x \right) v''(0) + \frac{P}{EI} \frac{1}{\mu^2} \left\{ \frac{1}{\mu} \sinh \mu (x-s) - (x-s) \right\} E(x-s) \\ + \frac{H_p y''}{EI} \frac{1}{\mu^2} \left\{ \frac{1}{\mu^2} (\cosh \mu x - 1) - \frac{1}{2} x^2 \right\} + \frac{1}{EI} \sum_{r=1}^{n-1} X_r \frac{1}{\mu^2} \left\{ \frac{1}{\mu} \sinh \mu (x-l_r) - (x-l_r) \right\} E(x-l_r) \quad \dots \dots (7)$$

式(7)に式(4)を代入すれば、 $v'(0), v''(0)$ を除く 2 本の方程式ができまる。式(8), 式(9)

$$\text{即ち}, v'''(0) = -\frac{P}{EI} \frac{\sinh \mu (L-s)}{\sinh \mu L} - H_p y'' \frac{1}{EI} \frac{1}{\mu} \frac{\cosh \mu L - 1}{\sinh \mu L} - \frac{1}{EI} \sum_{r=1}^{n-1} X_r \frac{\sinh \mu (L-l_r)}{\sinh \mu L} \quad \dots \dots (8)$$

$$v'(0) = \frac{P}{H} \left\{ \left(1 - \frac{s}{L} \right) - \frac{\sinh \mu (L-s)}{\sinh \mu L} \right\} + H_p y'' \frac{1}{H} \left\{ \frac{1}{2} L - \mu \frac{\cosh \mu L - 1}{\sinh \mu L} \right\} \quad \dots \dots (9)$$

式(8), 式(9)を式(7)に代入すれば、式(10)のようになる。

$$v(x) = P \cdot \frac{L}{H} \left[\frac{x}{L} \left(1 - \frac{s}{L} \right) - \frac{\sinh \mu x \cdot \sinh \mu (L-s)}{\mu L \cdot \sinh \mu L} + \left\{ \frac{\sinh \mu (x-s)}{\mu L} - \frac{x-s}{L} \right\} E(x-s) \right] \\ + H_p y'' \frac{L^2}{H} \left[\frac{1}{2} \frac{x}{L} \left(1 - \frac{s}{L} \right) - \frac{1}{(\mu L)^2} \left\{ 1 - \frac{\cosh \mu (\frac{L}{2}-x)}{\cosh \mu L} \right\} \right] \\ + \frac{L}{H} \sum_{r=1}^{n-1} X_r \left[\frac{x}{L} \left(1 - \frac{l_r}{L} \right) - \frac{\sinh \mu x \cdot \sinh \mu (L-l_r)}{\mu L \cdot \sinh \mu L} + \left\{ \frac{\sinh \mu (x-l_r)}{\mu L} - \frac{x-l_r}{L} \right\} E(x-l_r) \right] \quad \dots \dots (10)$$

式(10)で、 H_p, X_r を含んだ形で、 $v(x)$ が求まる。また、式(10)は、連続桁の全長を単純桁とした時の Green 関数 $K(x, s)$ を用いれば、式(11)のようになる。

$$v(x) = P \cdot K(x, s) + H_p y'' \int_0^L K(x, s) ds + \sum_{r=1}^{n-1} X_r K(x, l_r) \quad \dots \dots (11)$$

次に、中間支点の条件は、式(12)であるから、式(12)を式(11)に代入すれば、式(13)のようになる。

$$v(l_i) \equiv 0, \quad i = 1, 2, \dots, n-1 \quad \dots \dots (12)$$

$$v(l_i) = P \cdot K(l_i, s) + H_p y'' \int_0^L K(l_i, s) ds + \sum_{r=1}^{n-1} X_r K(l_i, l_r) \equiv 0 \quad \dots \dots (13)$$

$$\therefore \sum_{r=1}^{n-1} X_r K(l_i, l_r) = -P K(l_i, s) - H_p y'' \int_0^L K(l_i, s) ds \quad \dots \dots (14)$$

式(14)で $A_{ij} = K(l_i, l_r)$

$$\begin{pmatrix} A_{11} & A_{12} & \dots & A_{1n-1} \\ A_{21} & & & \\ \vdots & & & \\ A_{n-1,1} & \dots & \dots & A_{n-1,n-1} \end{pmatrix} \begin{pmatrix} X_1 \\ X_2 \\ \vdots \\ X_{n-1} \end{pmatrix} = - \begin{pmatrix} f_{10} \\ f_{20} \\ \vdots \\ f_{n-10} \end{pmatrix} \quad \dots \dots (15)$$

式(15)は、図-2 で、中間支点 ($i = 1, 2, \dots, n-1$) を取り除いた時の仕事建立方程式に相当している。

式(14)あるいは式(15)で、未知数 X_r は未知数 H_p を含んだ形で求まる。2 の式を式(11)に代入すれば、式(7)のようになる。

$$v(x) = P \left\{ K(x, s) - \sum_{r=1}^{n-1} [K(l_i, l_r)]^{-1} [K(l_i, s)] [K(l_i, l_r)] \right\} + H_p y'' \left\{ \int_0^L K(x, s) ds - \sum_{r=1}^{n-1} [K(l_i, l_r)]^{-1} \left[\int_0^L K(l_i, s) ds \right] \right\} \\ \times [K(x, l_r)] \quad \dots \dots (16)$$

次に、式(16)を式(2)に代入すれば、式(10)のようになる。

$$H_p(\xi) = \frac{z(\xi)}{N} \quad \dots \quad (18)$$

$$\therefore \text{式(18)を式(17)代入すれば}, Z(\xi) = P \frac{1}{R} \left\{ \int_0^L K(x, \xi) dx - \sum_{r=1}^{n-1} [K(l_r, l_r)]^{-1} [K(l_r, \xi)] \left[\int_0^L K(x, l_r) dx \right] \right\} \quad \dots \quad (19)$$

$$N = \frac{L_c}{E_c A_c} + (y'')^2 \int_0^L K(x, \xi) dx - (y'')^2 \sum_{r=1}^{n-1} [K(l_r, l_r)]^{-1} \left[\int_0^L K(x, l_r) dx \right] \quad \dots \quad (20)$$

$$\int_0^L K(x, \xi) dx = \frac{L^2}{H} \left[\frac{1}{2} \frac{x}{L} (1 - \frac{x}{L}) - \frac{1}{\mu L^2} \left\{ 1 - \frac{\cosh \mu (\frac{L}{2} - x)}{\cosh \mu \frac{L}{2}} \right\} \right] \quad \dots \quad (21)$$

$$\int_0^L \int_0^L K(x, \xi) d\xi dx = \frac{L^3}{H} \left\{ \frac{1}{12} - \frac{1}{(\mu L)^2} \left(1 - \frac{\tanh \mu \frac{L}{2}}{\mu \frac{L}{2}} \right) \right\} \quad \dots \quad (22)$$

式(16)と式(18)を式(11)に代入すれば、たとえ $U(x)$ は求まらず。

また、曲げモーメント $M(x)$ 、剪断力 $Q(x)$ は式(23)、式(24)で求まらず。

$$M(x) = -EI \cdot U''(x) \quad \dots \quad (23), \quad Q(x) = -EI U'''(x) \quad \dots \quad (24)$$

4. Fourier 変換による解法

$$\text{式(11)の両辺に Fourier Sine 変換を施す}, \int_0^L U(x) \sin \frac{k\pi}{L} x dx = V\left(\frac{k\pi}{L}\right) \quad \dots \quad (25)$$

$$\text{とする。但し}, k=1, 2, \dots, \text{また}, \alpha = \frac{k\pi}{L}, \beta = EI \alpha^4 + H \alpha^2 E \neq 0 \text{ とする} \quad \dots \quad (26)$$

$$\text{式(11)の変換は } EI \alpha^4 V(\alpha) + H \alpha^2 V'(\alpha) = P \sin \alpha \xi + H_p y'' \frac{2}{\alpha} + \sum_{r=1}^{n-1} X_r \sin \alpha l_r \quad \dots \quad (27) \text{ となり}.$$

式(27)の逆変換として、未知数 X_r, H_p を含んだ形で $U(x)$ を求めよう。

$$U(x) = \frac{2}{L} \sum_{k=1}^{\infty} \frac{1}{\beta} P \sin \alpha \xi \cdot \sin \alpha x + \frac{2}{L} \sum_{k=1,3}^{\infty} \frac{1}{\beta} H_p y'' \frac{2}{\alpha} \sin \alpha x + \frac{2}{L} \sum_{r=1}^{n-1} X_r \left(\sum_{k=1}^{\infty} \frac{1}{\beta} \sin \alpha l_r \cdot \sin \alpha x \right) \quad \dots \quad (28)$$

$$\text{式(12)を用いてれば } \sum_{r=1}^{\infty} X_r \left(\sum_{k=1}^{\infty} \frac{1}{\beta} \sin \alpha l_r \cdot \sin \alpha l_r \right) = -P \sum_{k=1}^{\infty} \frac{1}{\beta} \sin \alpha \xi \sin \alpha l_r - H_p y'' \sum_{k=1,3}^{\infty} \frac{1}{\beta} \frac{2}{\alpha} \sin \alpha l_r \quad \dots \quad (29)$$

式(29)は、式(14)あるいは式(19)に対応していき。

$$\therefore K(x, \xi) = \frac{2}{L} \sum_{k=1}^{\infty} \frac{1}{\beta} \sin \alpha \xi \cdot \sin \alpha x \quad \dots \quad (30) \text{ とすれば}$$

$$\text{式(28)は } U(x) = P K(x, \xi) + H_p y'' \int_0^L K(x, \xi) d\xi + \sum_{r=1}^{n-1} X_r K(x, l_r) \quad \dots \quad (31) \text{ となり、式(11)と一致する}.$$

式(30)は、半純析的引張軸力が作用している時の Green 関数を Fourier 級数展開したものである。

以下、Green 関数 $K(x, \xi)$ を用いれば、たとえ $U(x)$ を求めた方法は Laplace 変換による解法の場合と全く同様である。

5. 数値計算例

数値計算例としては、現在、計画中の本州四国連絡橋を例にとり、五径向連続吊橋として、表-1 のような断面諸元を用いた。

表-1 断面諸元

	第1径間	第2径間	第3径間	第4径間	第5径間
ℓ	500 m	1000 m	1500 m	1000 m	500 m
f	15.152 m	60.608 m	136.364 m	60.608 m	15.152 m
I	2.543 m^4				
$E = 2.1 \times 10^7 \text{ N/m}^2, E_c = 2.0 \times 10^7 \text{ N/m}^2, A_c = 0.72594 \text{ m}^2, H_p = 32779 \text{ t}$					

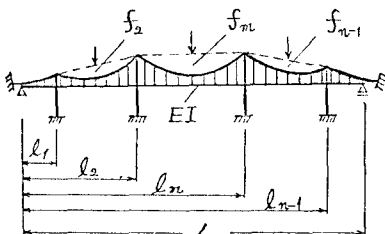


図-4は、Laplace変換によつて五径間連続吊橋の中央径間中央点における横みの影響線を図示したものである。

図-5は、同じく Laplace 変換によつて五径間連続吊橋の中央径間中央点における曲げモーメントの影響線を図示したものである。

図-6は、Fourier 変換によつて五径間連続吊橋の中央径間中央点における横みの影響線を図示したものである。約20項までとつて場合は $0.5388 \times 10^2 m$ であり、約30項までとつて場合は $0.5695 \times 10^2 m$ あり、約40項までとつて場合は $0.5801 \times 10^2 m$ である。また、図-4、図-5は、文献1によつて方法と全く一致している。

5. あとがき

- 1) ローラー結合の場合の多径間連続吊橋の解法として、文献1によつて方法と同様に、本解法は有効であることがわかつた。
- 2) 本解法は单系解析の Green 関数のみで表示できる。

また、図-1(a)のような塔とケーブルとのセンジ結合 ($N_g=0, N_f$ 考慮) の場合の本解法は3方法は別の機会に発表する。

参考文献

- 1) 渡辺昇、佐藤告一：「多径間吊橋の弾性理論と撓度理論との比較について」 沿24回年次学術講演会 I-161
- 2) 佐藤告一：「多径間吊橋の塔の曲げ剛性が断面力特性に及ぼす影響について」 昭和44年度土木学会 北海道支部研究発表論文集
- 3) 渡辺昇：「橋の影響線の理論と計算法」 現代社
- 4) Hawranek ; Steinhardt : 「Theorie und Berechnung der Stahlbrücken」 Springer - Verlag 1958

